



**HELMHOLTZ
ZENTRUM BERLIN**
für Materialien und Energie

Space Charge Effects in cascaded HGHG-FELs

Lutz Hein

Verteidigung der Diplomarbeit

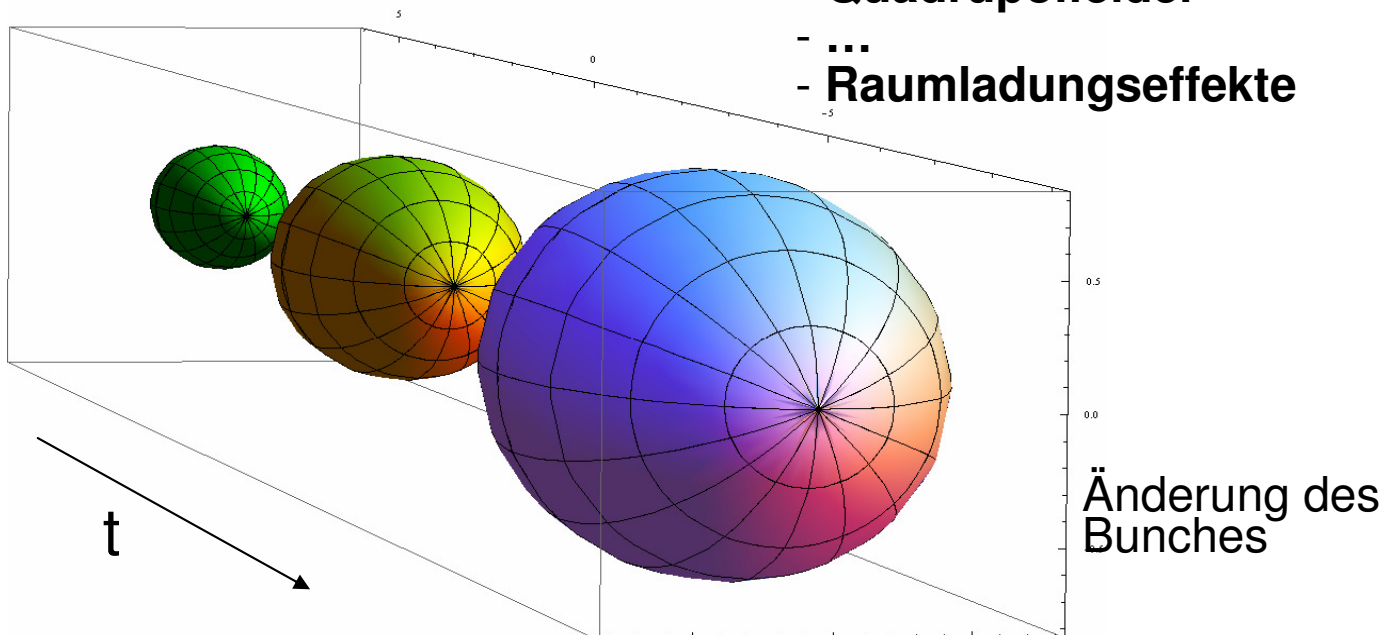
Gliederung

- Motivation
- Physikalische Grundlagen
 - FEL - Physik
 - Raumladung
- Programm P12
- FEL – Genesis1.3 & Simulation FLASH II / STARS
- Zusammenfassung
- Ausblick

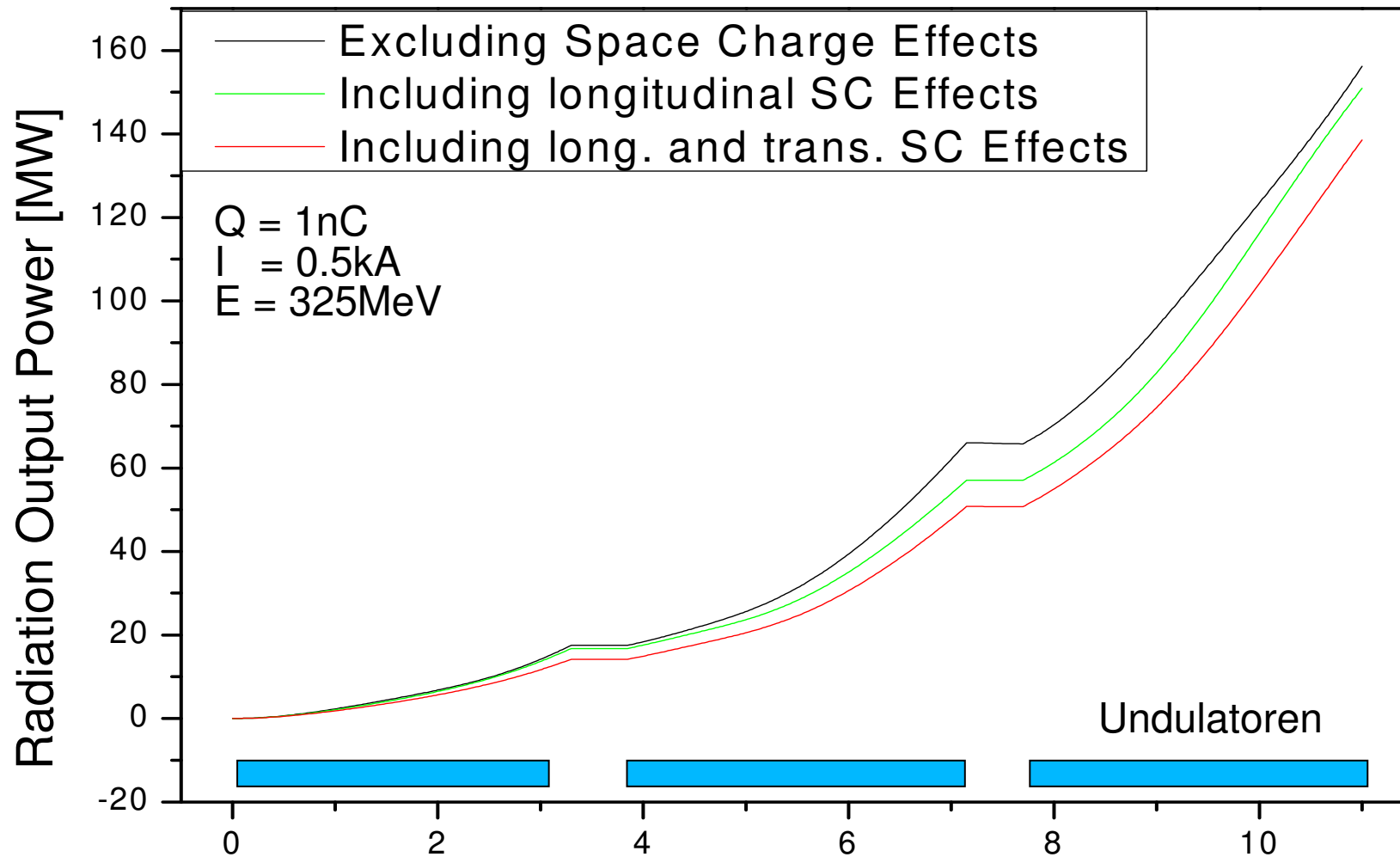
Die **Lichtqualität** eines FELs ist stark abhängig von den Eigenschaften des verwendeten Elektronenbunches.

Die Entwicklung eines Elektronenbunches kann beeinflusst werden durch:

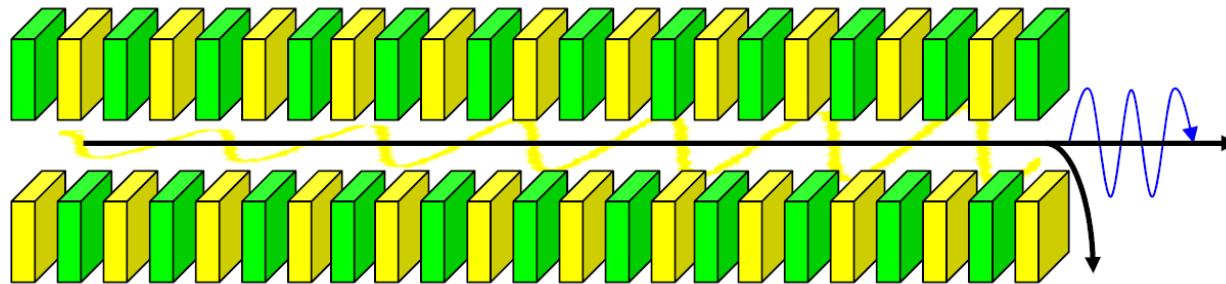
- **Dipolfelder**
- **Quadrupolfelder**
- ...
- **Raumladungseffekte**



STARS - Second Stage 0.5kA Peak Current



Prinzip:

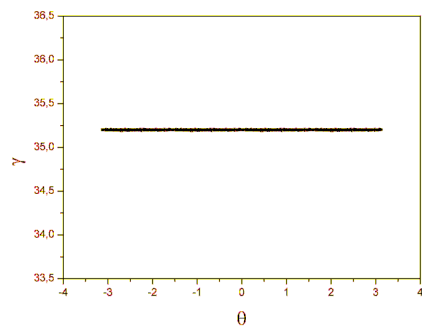


HighGain - MODUS

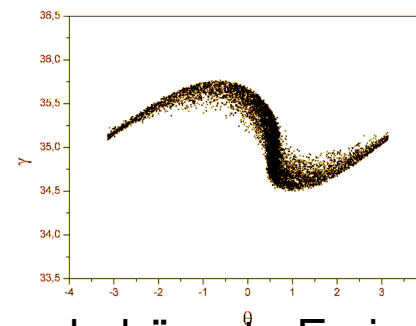
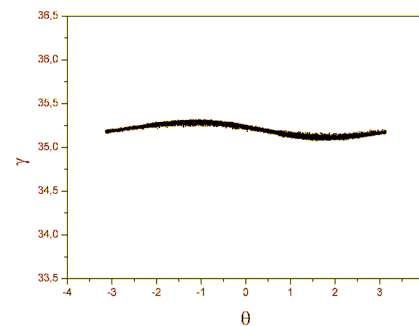
Energie-
modulation

Dichtemodulation
Microbunching

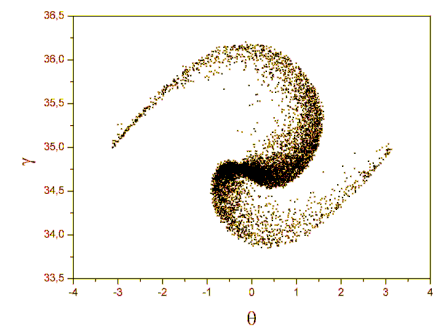
Sättigung



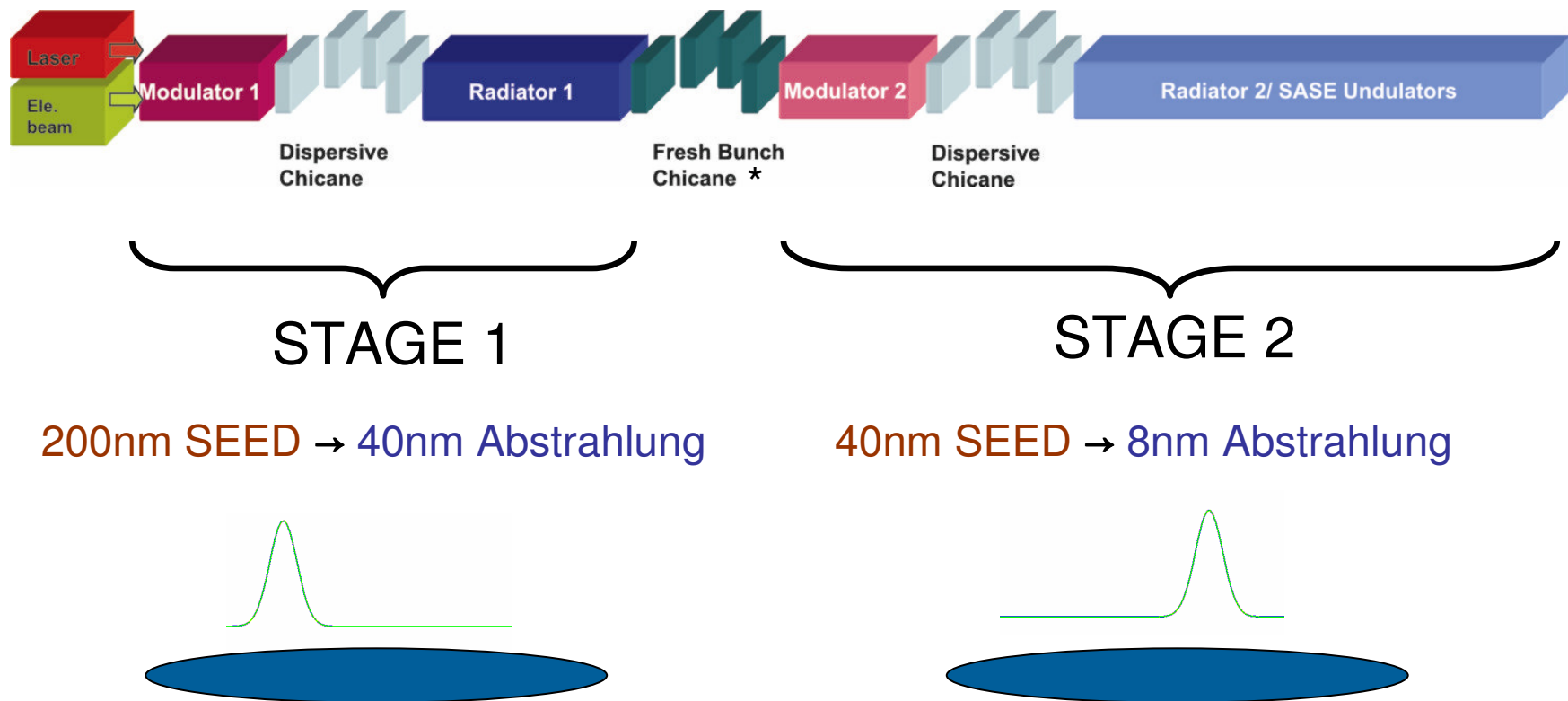
Shot Noise



kohärente Emission



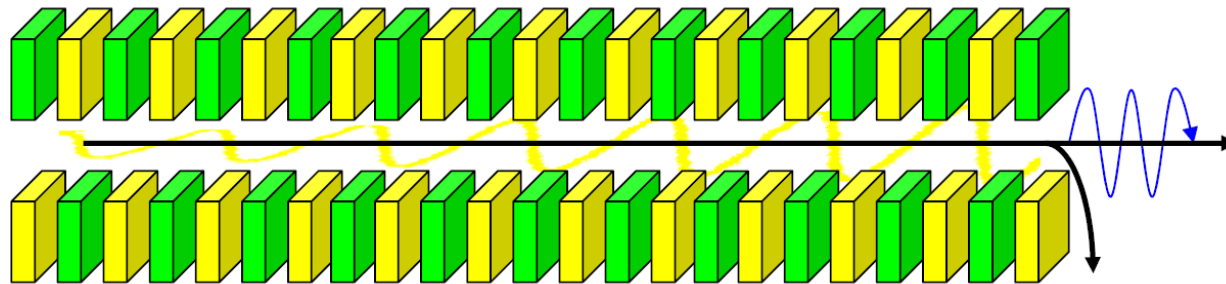
FLASH II: High-Gain Harmonic Generation FEL+



+ „Theory of high gain harmonic generation: an analytical estimate“,
Li Hua Yu, NIM A483(2003)

* „High-gain harmonic generation of soft X-rays with the ‚fresh bunch‘ technique“,
Li-Hua Yu, NIM A393(1997)

Prinzip:

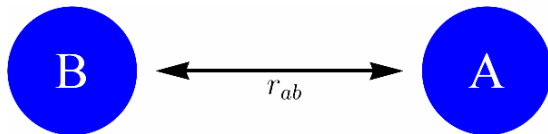


Pierce-Parameter:
$$\varrho = \frac{1}{\gamma} \left[\left(\frac{K_{rms} \lambda_u f_B}{8\pi} \right)^2 \frac{I_{Peak}}{I_A \sigma^2} \right]^{\frac{1}{3}}$$

Verstärkungslänge	L_{Gain}	\sim	$\frac{\lambda_u}{\varrho}$
Spektrum	$\frac{\Delta\lambda}{\lambda}$	\sim	ϱ
Sättigungsintensität	P_{sat}	\sim	ϱ

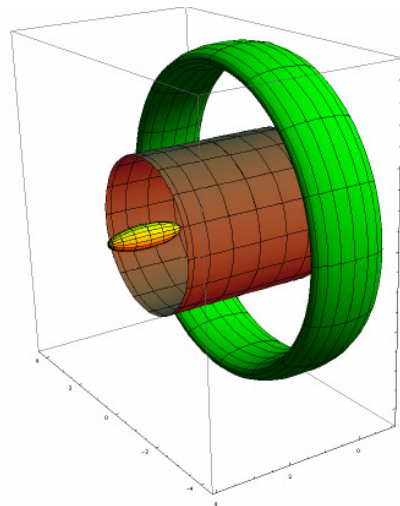
Raumladung

Einzelteilchen



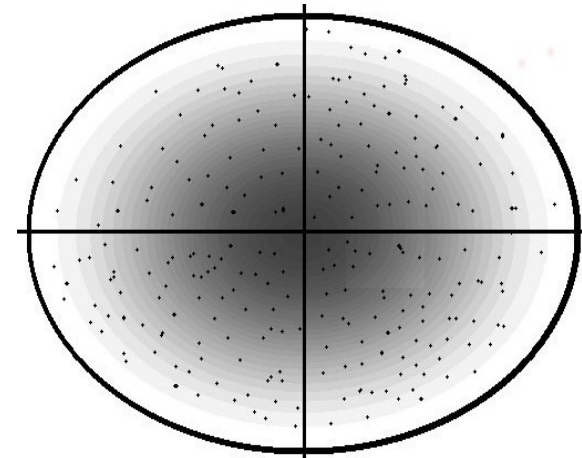
• Touschek – Streuung

Mit der Umgebung



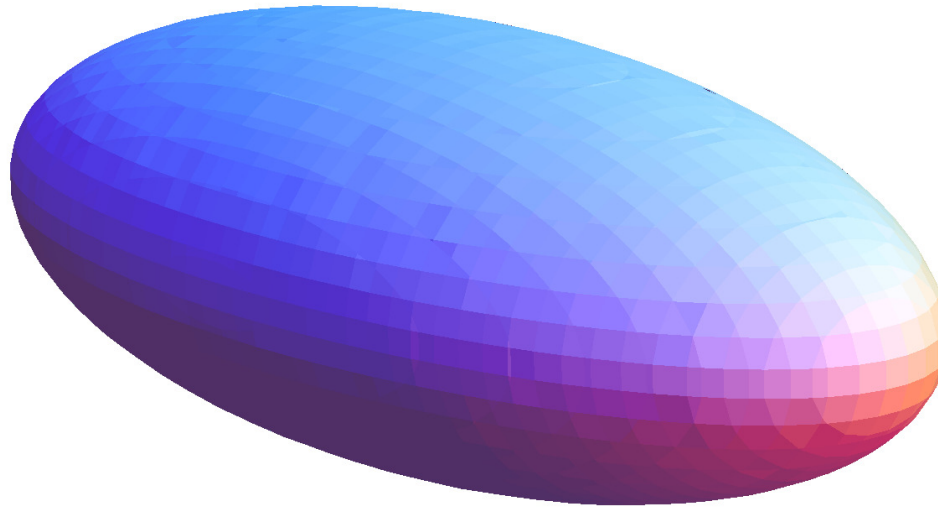
• Wake-fields

Als Kollektiv

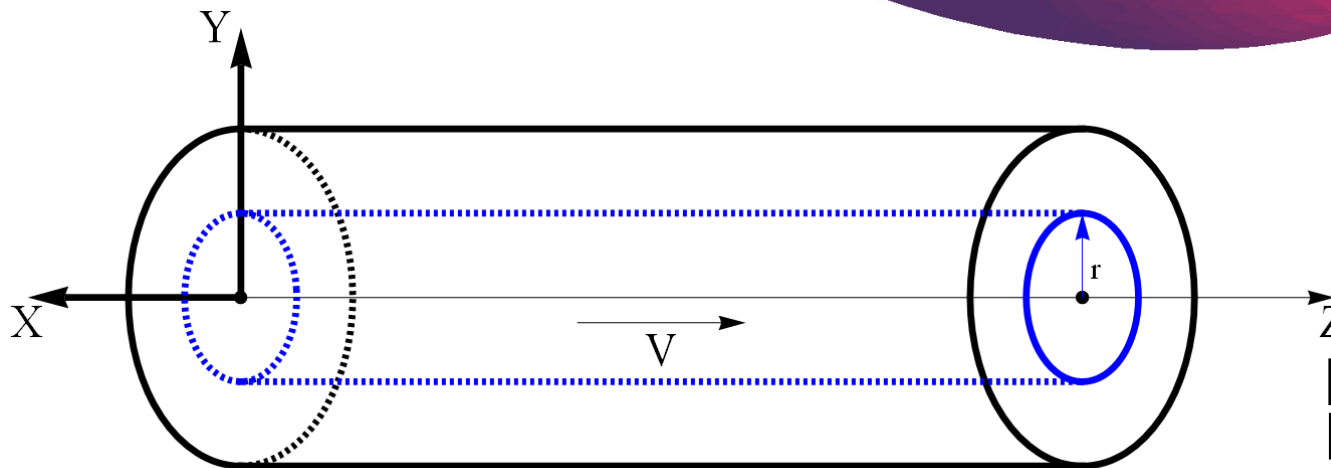


• Kollektive
Selbstwechselwirkung

3D-Ellipsoid*



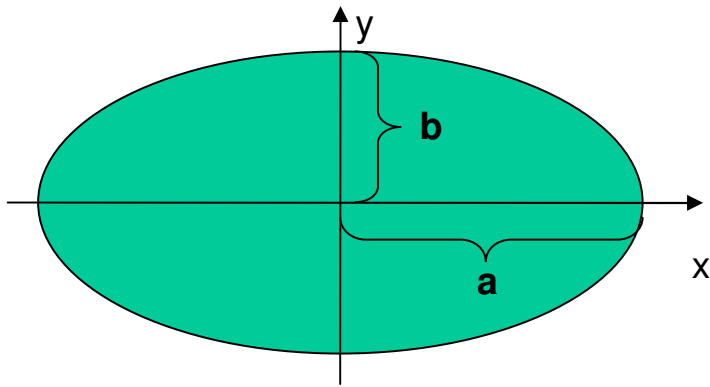
2D-Ellipse+



Modell für
HGHG-FELs
(\rightarrow keine longitudinale
Raumladung)

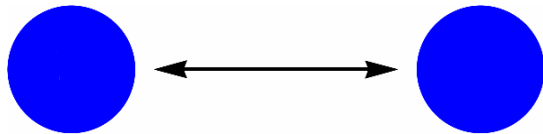
* „Foundations of potential theory“, O.D. Kellogg, 1976

+ „Space charge fields of elliptical symmetrical beams“, M.R.Shubaly, NIM 13:19-21,1975

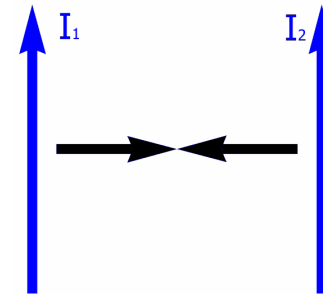


$$\rho(\vec{r}) = \frac{I}{A_0 \cdot \beta \cdot c}$$

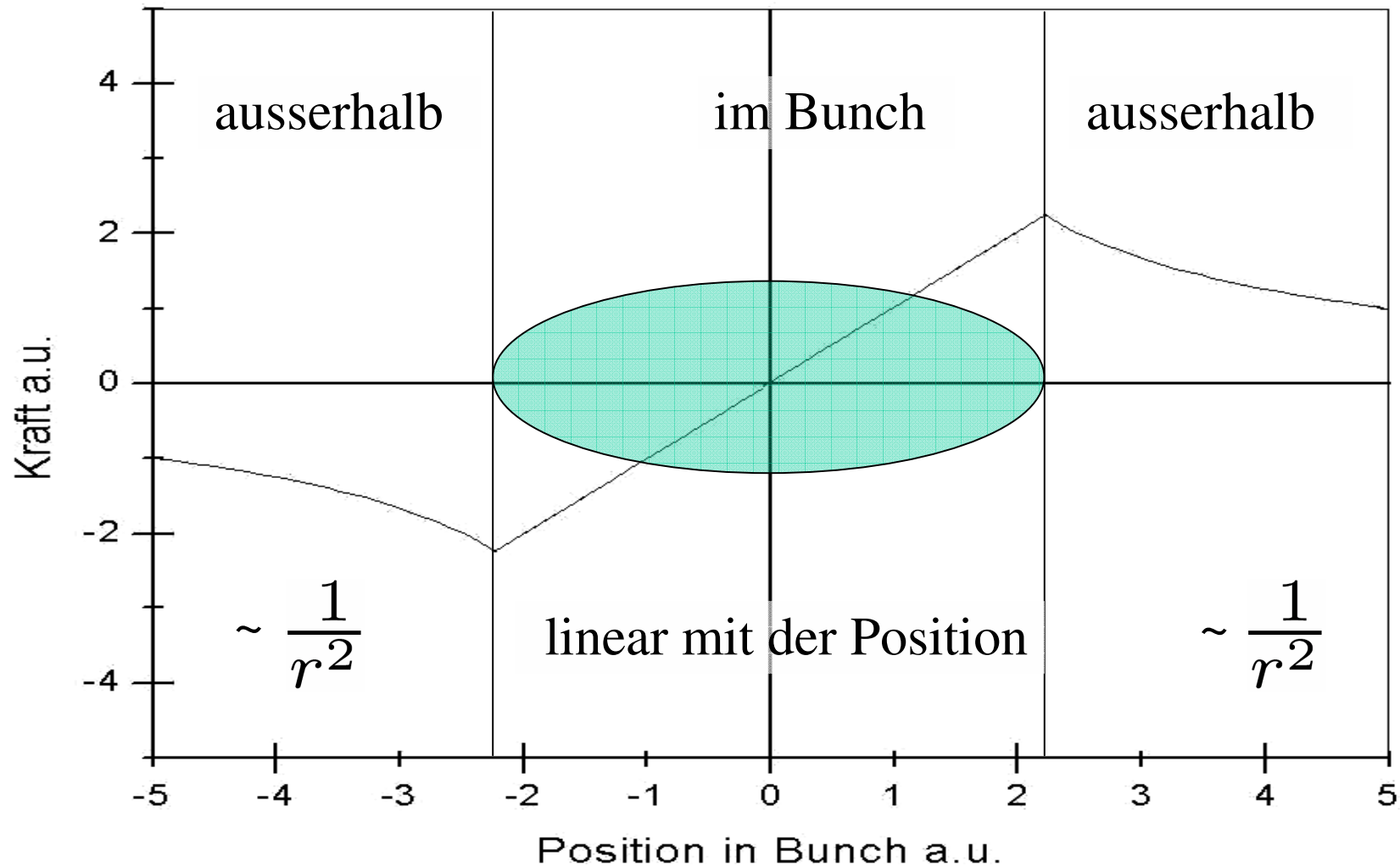
$$\vec{E} = \frac{I}{\pi \epsilon_0 (a+b) \beta c} \cdot \left(\frac{x}{a}, \frac{y}{b}, 0 \right) \quad \vec{B} = \frac{\mu_0 I}{\pi (a+b)} \cdot \left(-\frac{y}{b}, \frac{x}{a}, 0 \right)$$



Mit der Näherung $\vec{\beta} \cdot c \approx \vec{v}_s$



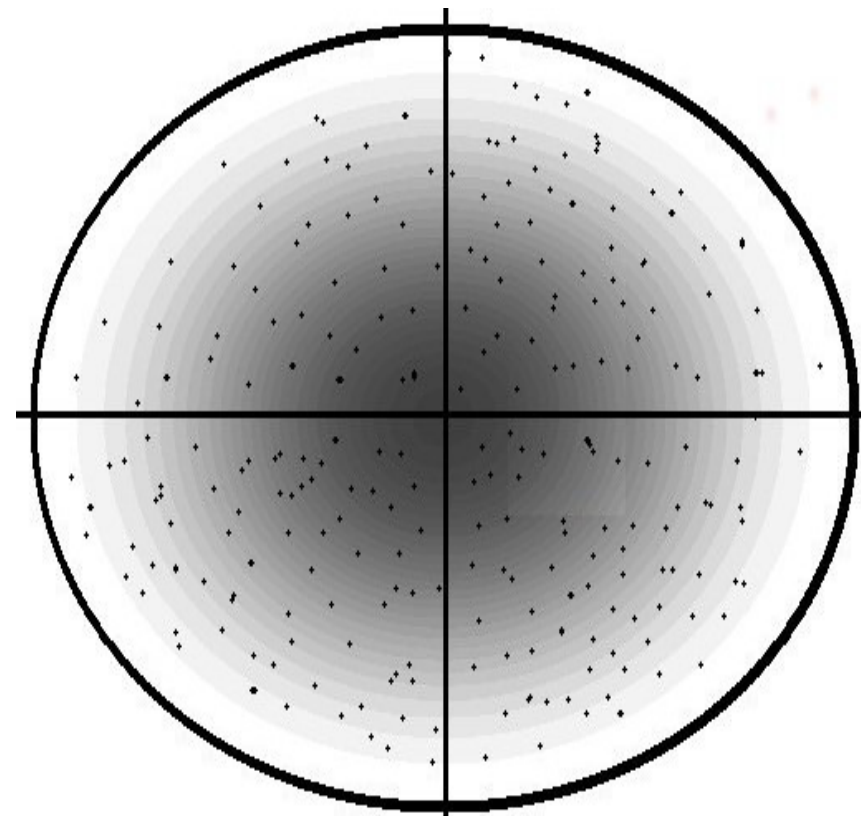
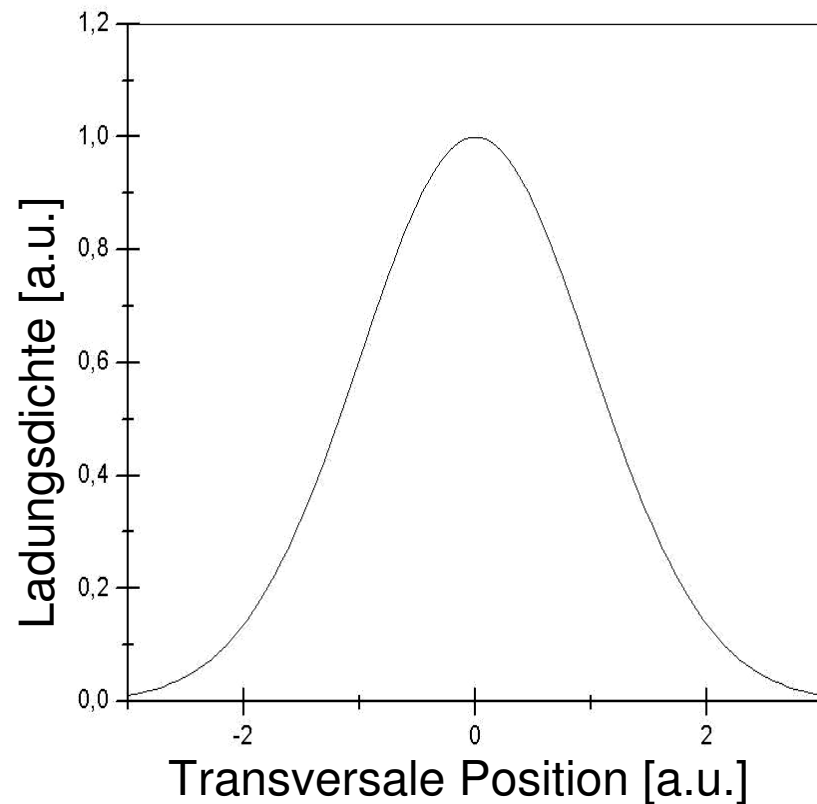
$$\vec{F}_L = \frac{eI}{\pi \epsilon_0 \beta c \gamma^2 \cdot (a+b)} \cdot \left(\frac{x}{a}, \frac{y}{b}, 0 \right)$$



Annahmen:

- Gauss-Verteilung
- rotationssymmetrisch

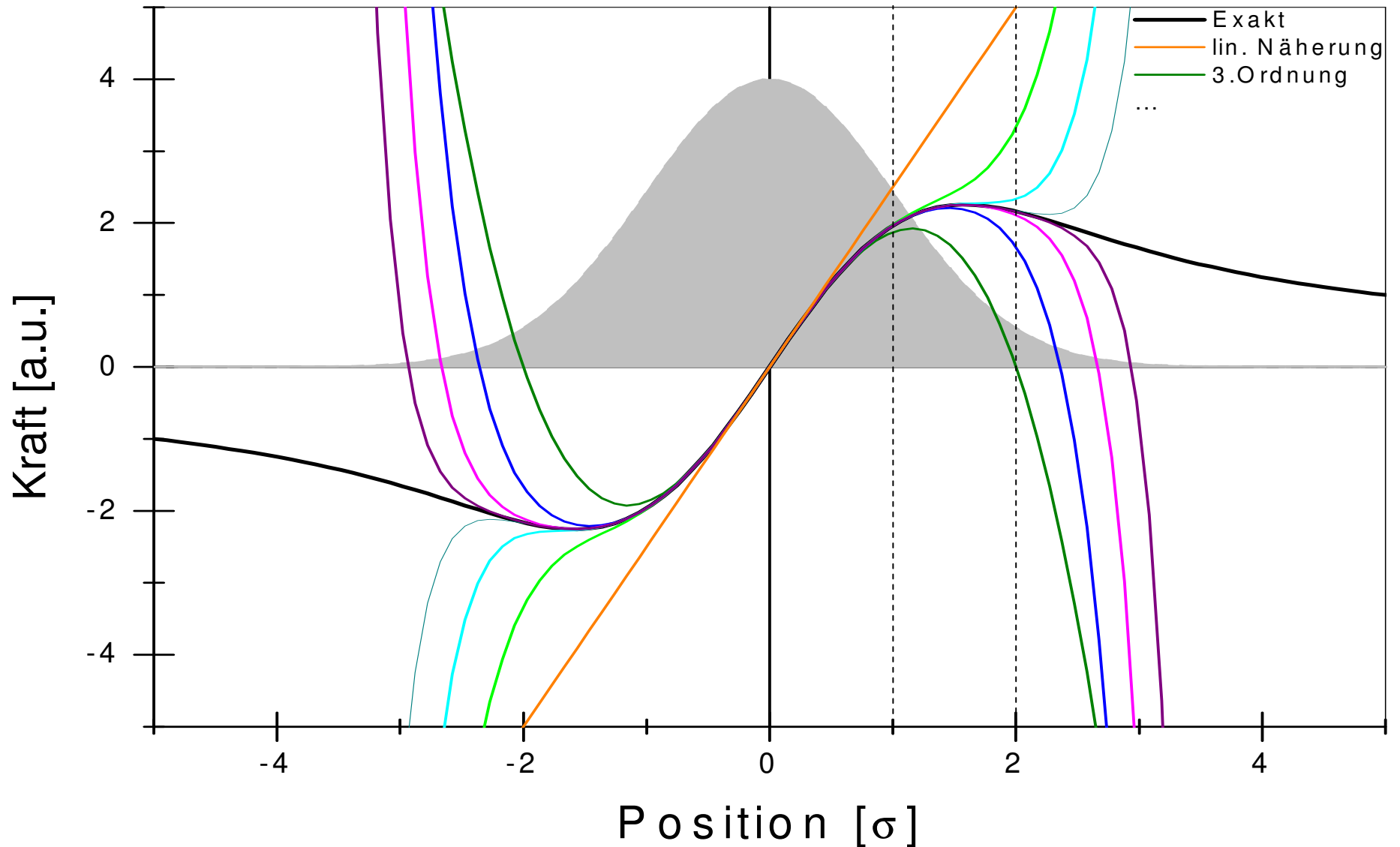
Querschnitt des Bunches



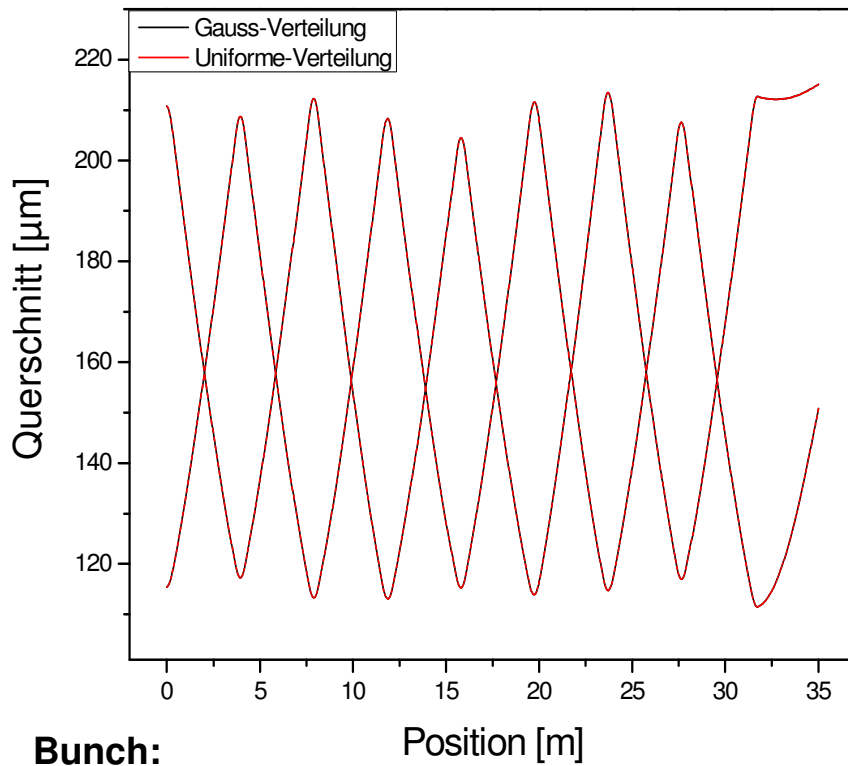
$$\rho(r) = \frac{I}{\beta \cdot c} \cdot \frac{1}{2\pi\sigma^2} \cdot e^{-\frac{r^2}{2\sigma^2}} \left. \vphantom{\rho(r)} \right\} \text{Ladungsverteilung}$$

$$\left. \begin{aligned} \vec{E} = E_r &= \frac{I}{2\pi\epsilon_0\beta c} \cdot \frac{1}{r} \left(1 - e^{-\frac{r^2}{2\sigma^2}}\right) \\ \vec{B} = B_\phi &= \frac{I}{2\pi\epsilon_0 c^2} \cdot \frac{1}{r} \left(1 - e^{-\frac{r^2}{2\sigma^2}}\right) \end{aligned} \right\} \text{Felder}$$

$$\left. \begin{aligned} \vec{F} &= \frac{eI}{2\pi\epsilon_0\beta c\gamma^2} \cdot \frac{\vec{r}}{r^2} \left(1 - e^{-\frac{r^2}{2\sigma^2}}\right) \\ \vec{F} &\approx \frac{eI}{2\pi\epsilon_0\beta c\gamma^2} \cdot \frac{\vec{r}}{2\sigma^2} \end{aligned} \right\} \text{Kraft}$$

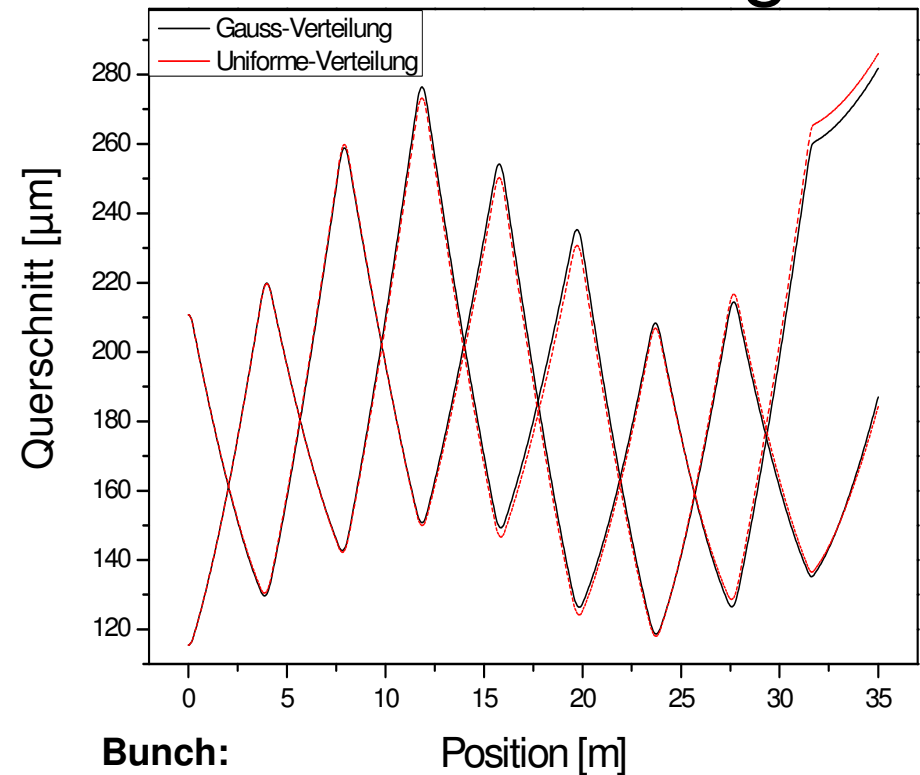


Ohne Raumladung



Bunch:
Energy 230MeV
 $\sigma_x = 210 \mu\text{m}$
 $\sigma_y = 115 \mu\text{m}$

Mit Raumladung

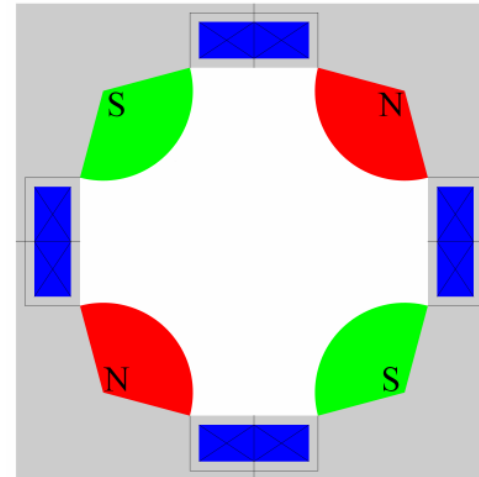
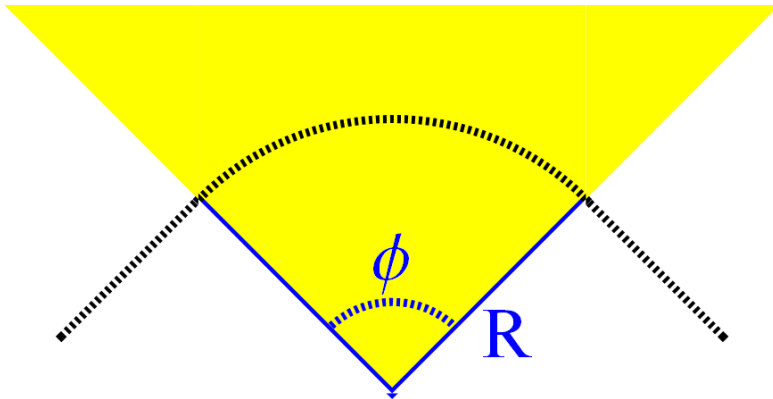


Bunch:
Energy 230MeV
 $\sigma_x = 210 \mu\text{m}$
 $\sigma_y = 115 \mu\text{m}$

Simulation mit ASTRA (Teilchen-tracking).

Bewegungsgleichung ohne Raumladung:

$$\begin{aligned}x''(s) + \left(\frac{1}{R^2(s)} - k_x(s)\right)x(s) &= \frac{1}{R(s)} \frac{\Delta p}{p} \\y''(s) + k_y(s)y(s) &= 0\end{aligned}$$



Bewegungsgleichung ohne Raumladung:

$$\begin{aligned}x''(s) + \left(\frac{1}{R^2(s)} - k_x(s)\right)x(s) &= \frac{1}{R(s)} \frac{\Delta p}{p} \\y''(s) + k_y(s)y(s) &= 0\end{aligned}$$

Bewegungsgleichung mit transversaler Raumladung:

$$\begin{aligned}x''(s) + \left(\frac{1}{R^2(s)} - (k_x(s) + k_{sc})\right)x(s) &= \frac{1}{R(s)} \frac{\Delta p}{p} \\y''(s) + (k_y(s) - k_{sc})y(s) &= 0\end{aligned}$$

$$x''(s) + \left(\frac{1}{R^2(s)} - (k_x(s) + k_{sc}) \right) x(s) = \frac{1}{R(s)} \frac{\Delta p}{p}$$

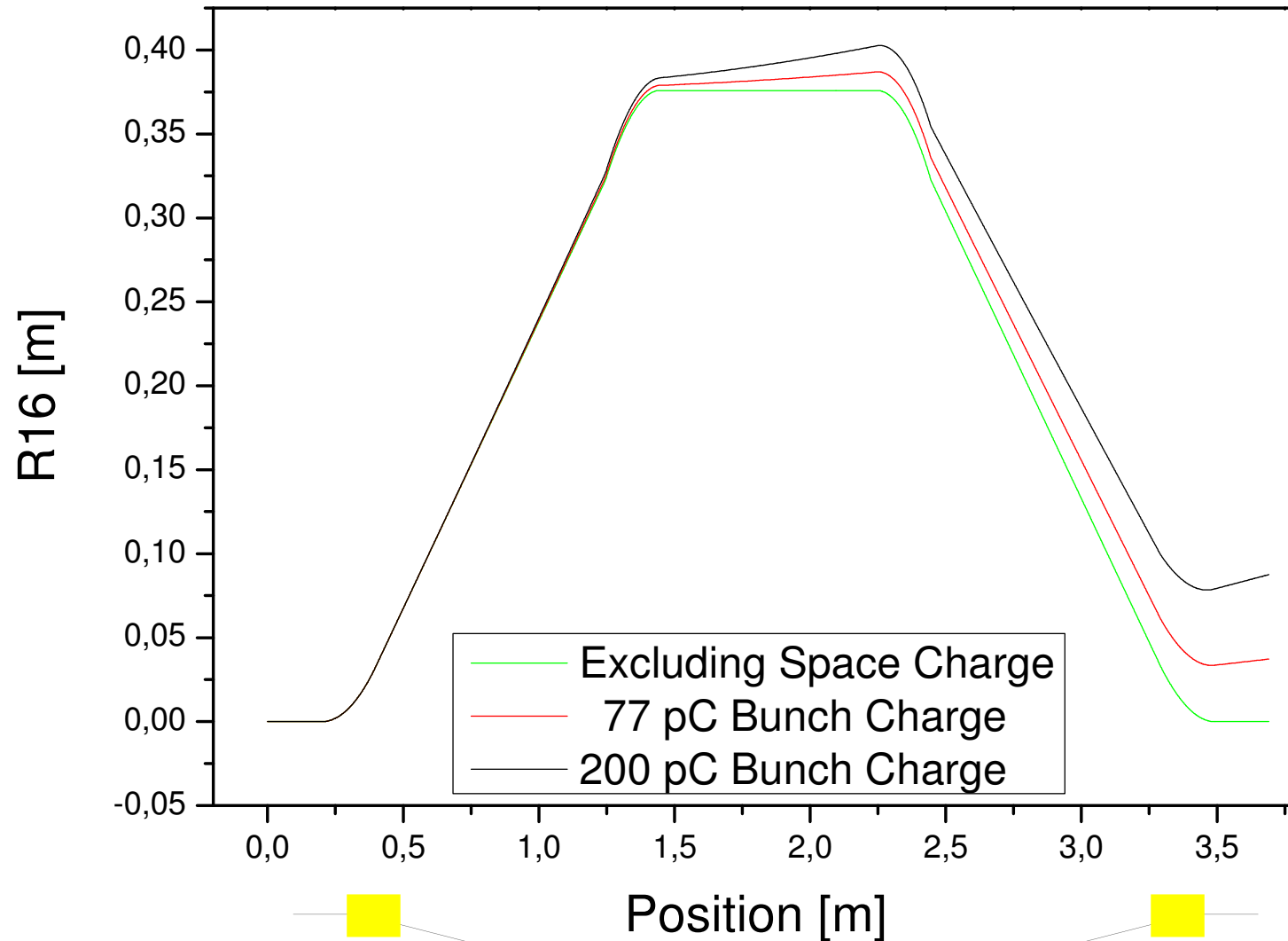
$$y''(s) + (k_y(s) - k_{sc}) y(s) = 0$$

Transfermatrix

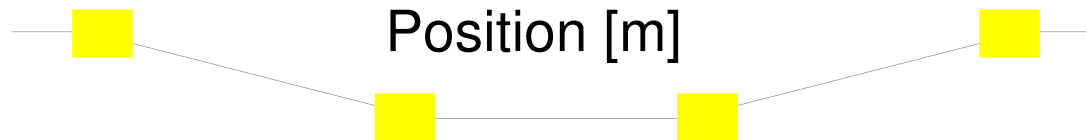
$$\begin{pmatrix} x \\ x' \\ y \\ y' \\ \delta l \\ \frac{\Delta p}{p_0} \end{pmatrix} = \begin{pmatrix} \boxed{R_{11} \ R_{12}} & R_{13} & R_{14} & R_{15} & \boxed{R_{16}} \\ \boxed{R_{21} \ R_{22}} & R_{23} & R_{24} & R_{25} & \boxed{R_{26}} \\ R_{31} & R_{32} & \boxed{R_{33} \ R_{34}} & R_{35} & \boxed{R_{36}} \\ R_{41} & R_{42} & \boxed{R_{43} \ R_{44}} & R_{45} & \boxed{R_{46}} \\ \boxed{R_{51} \ R_{52} \ R_{53} \ R_{54}} & R_{55} & R_{56} \\ R_{61} & R_{62} & R_{63} & R_{64} & R_{65} & R_{66} \end{pmatrix} \begin{pmatrix} x_o \\ x'_o \\ y_o \\ y'_o \\ \delta l_o \\ \frac{\Delta p_o}{p_0} \end{pmatrix}$$

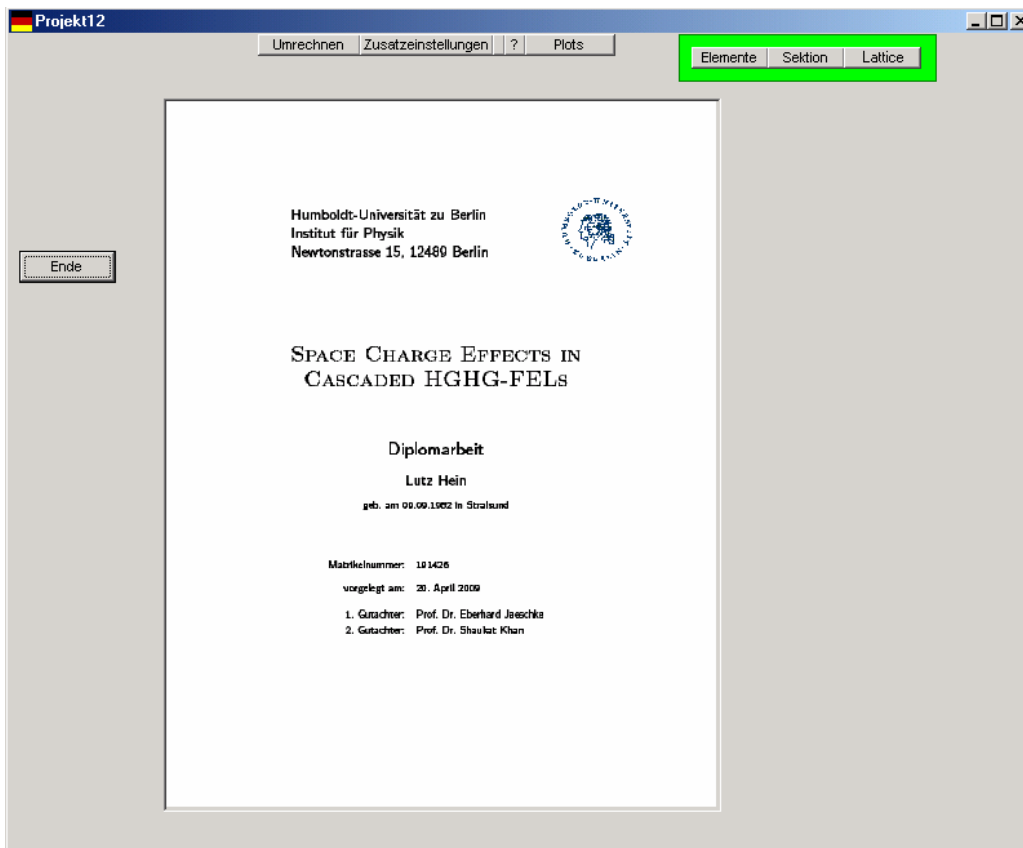
Endvektor

Eingangsvektor



Bunch:
energy 6,5MeV
 $\sigma_x = 0,7$ mm
 $\sigma_y = 0,1$ mm
 $\sigma_z = 6,0$ mm



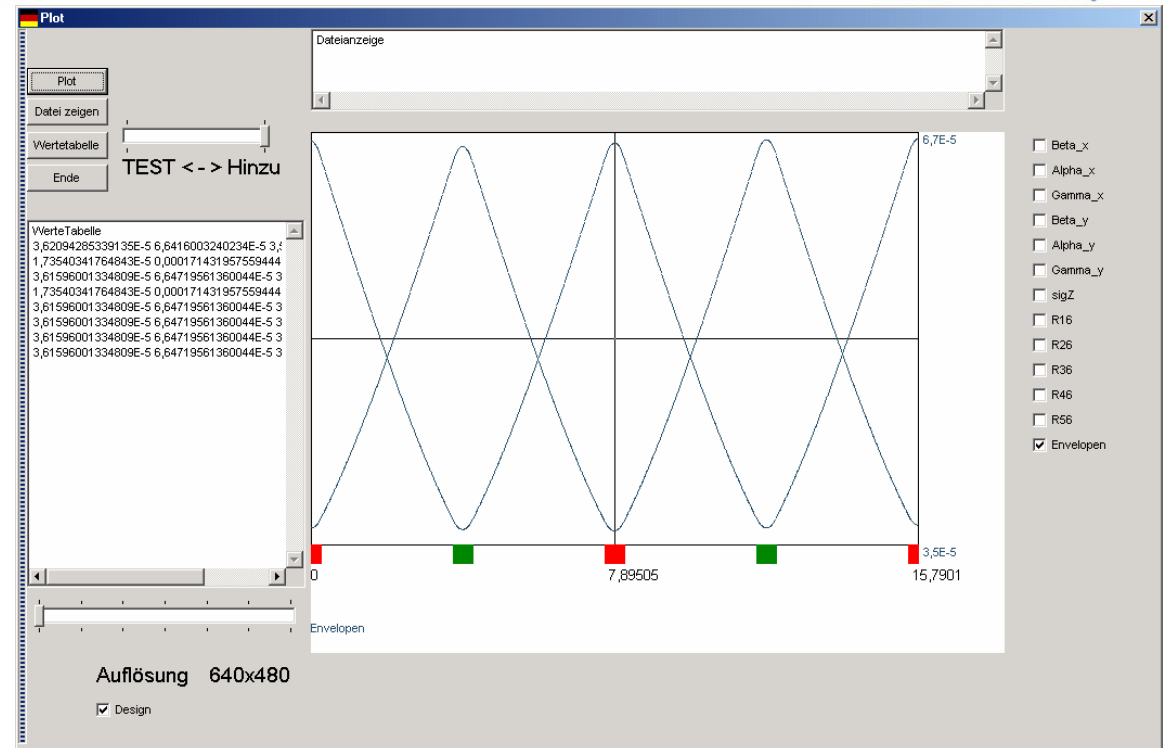


- Erstellung von Lattices
- Schnelle Analysen

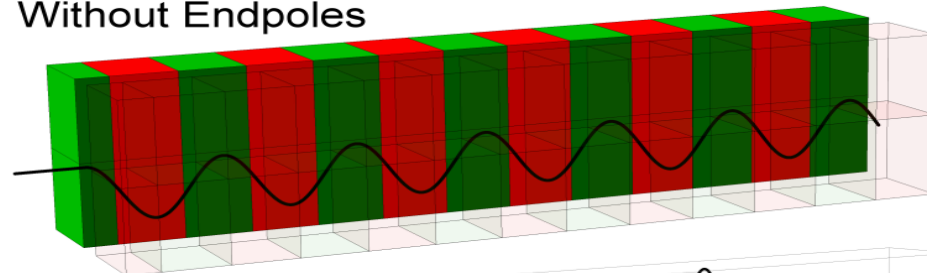
- Lineare Optik
- Raumladungseffekte
- Undulatorfokussierung
- Auswertungsprogramme

Besonderheiten

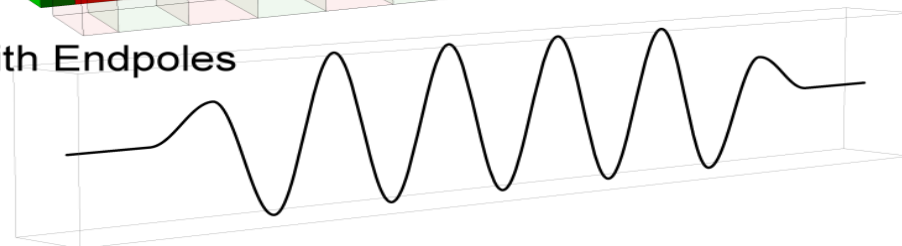
- Transfermatrizen Output
- Entwicklung der Parameter
- Selektive Auswahl berücksichtigter Effekte
- Undulatorbesonderheiten
- Genesis1.3 Output.la
- Benutzerfreundlichkeit durch optische Oberflächen
- Auswertungsprogramme
- ...



Without Endpoles



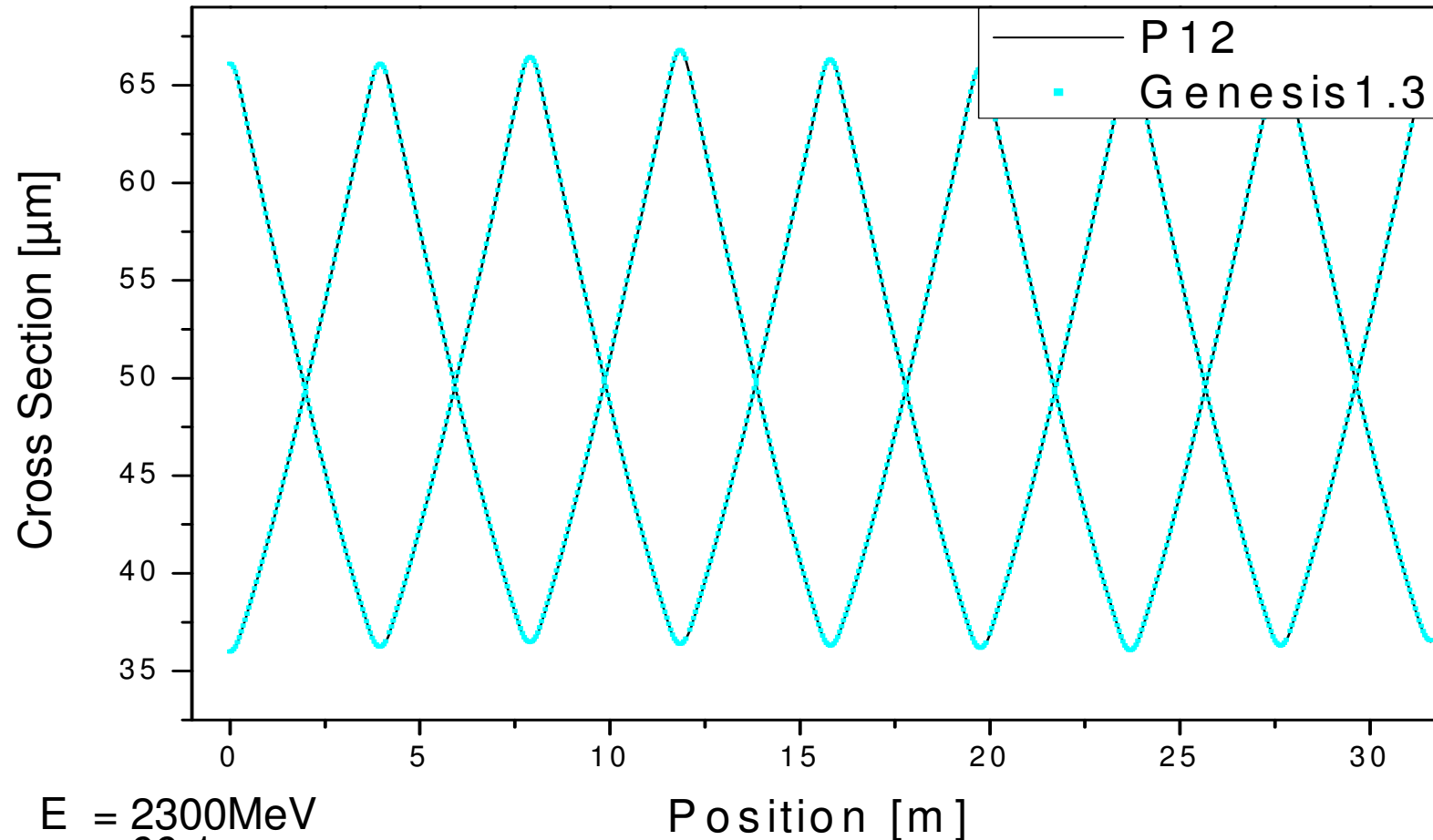
With Endpoles



Vergleich: P12 Vs Genesis1.3 & ASTRA

Ohne Raumladung

Genesis1.3 Vs P12

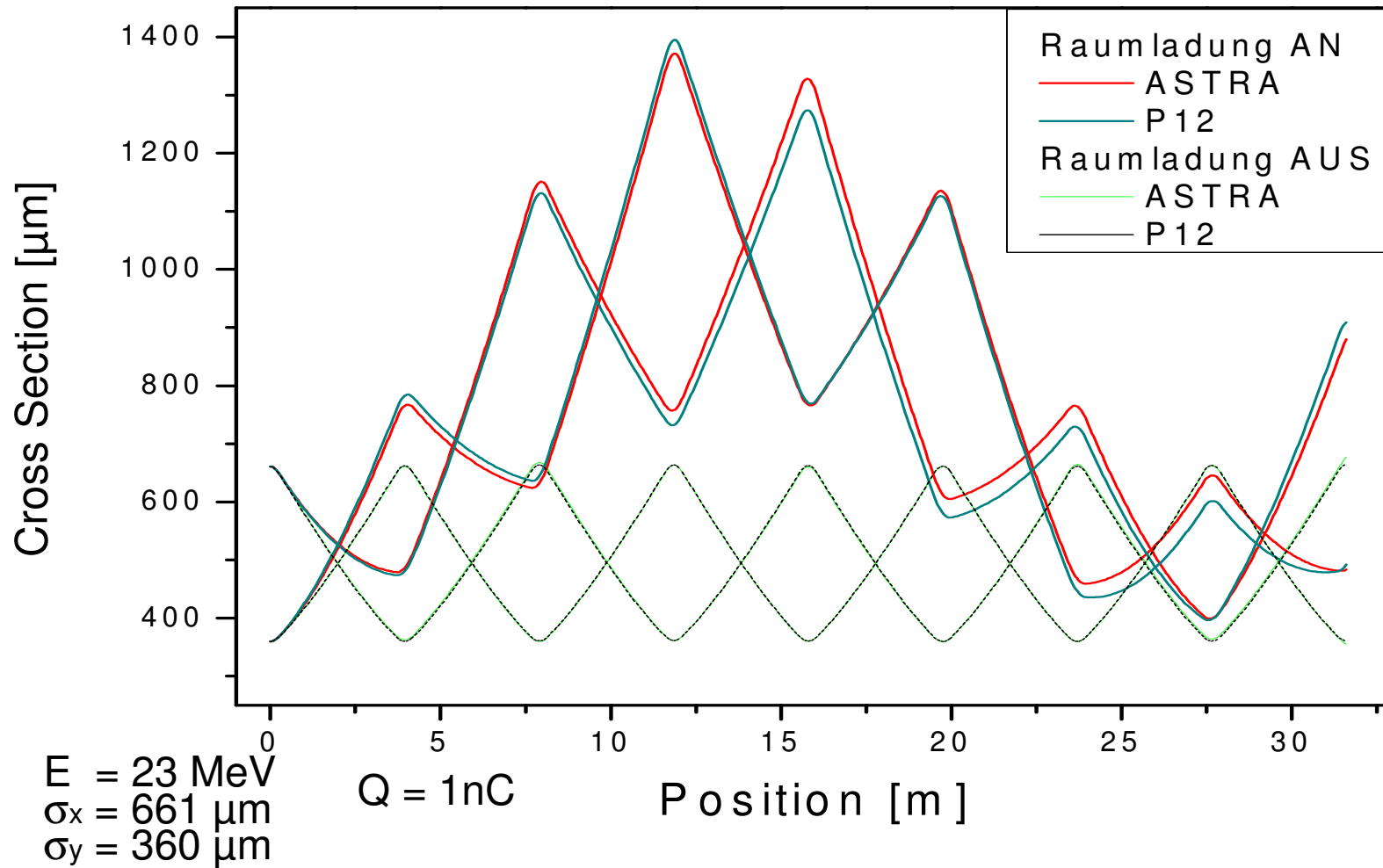


$E = 2300\text{MeV}$
 $\sigma_x = 66,1 \mu\text{m}$
 $\sigma_y = 36,0 \mu\text{m}$

Vergleich: P12 Vs Genesis1.3 & ASTRA

Mit Raumladung

ASTRA Vs P12



Genesis 1.3*



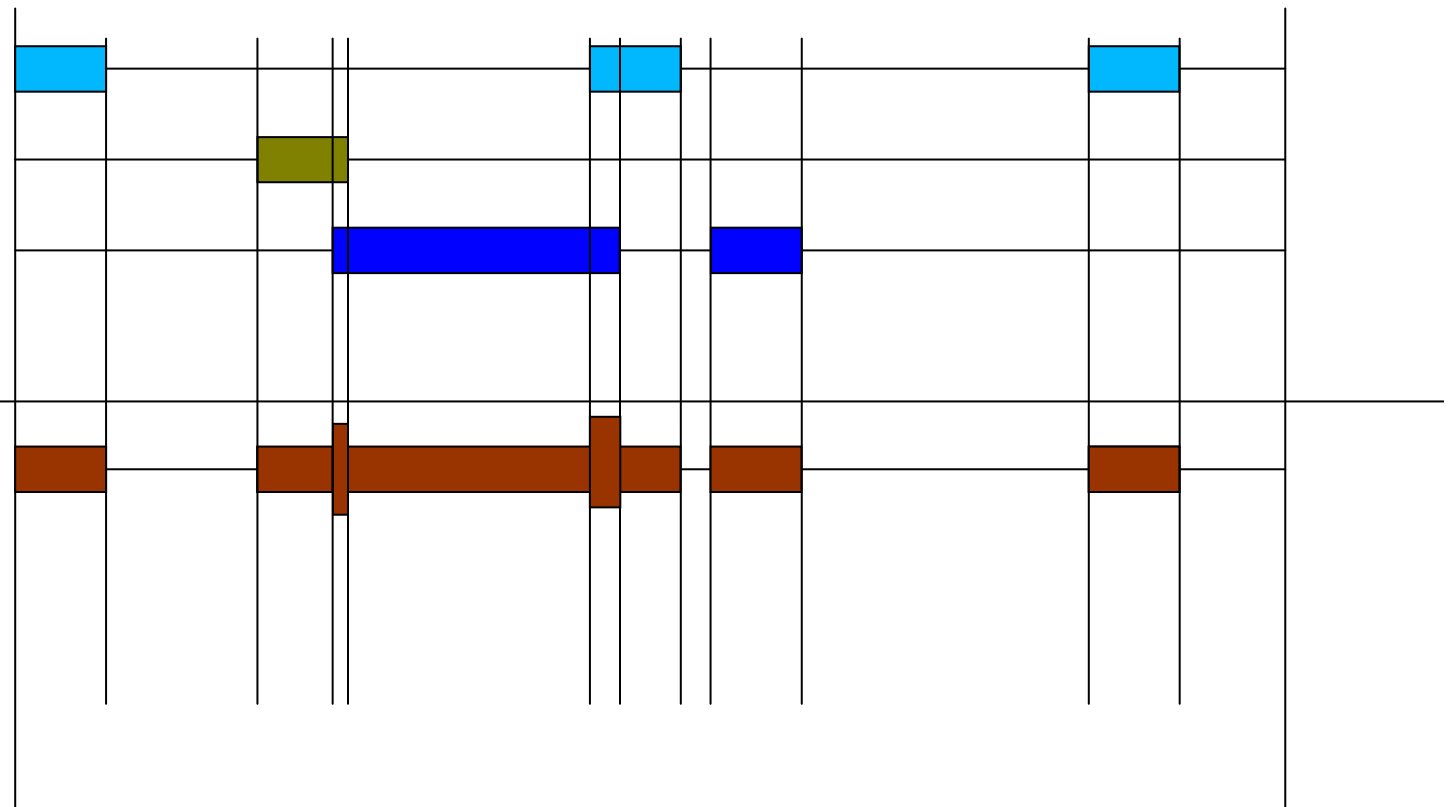
* Programm von Sven Reiche

Genesis 1.3 – Optikkberechnung

track.f

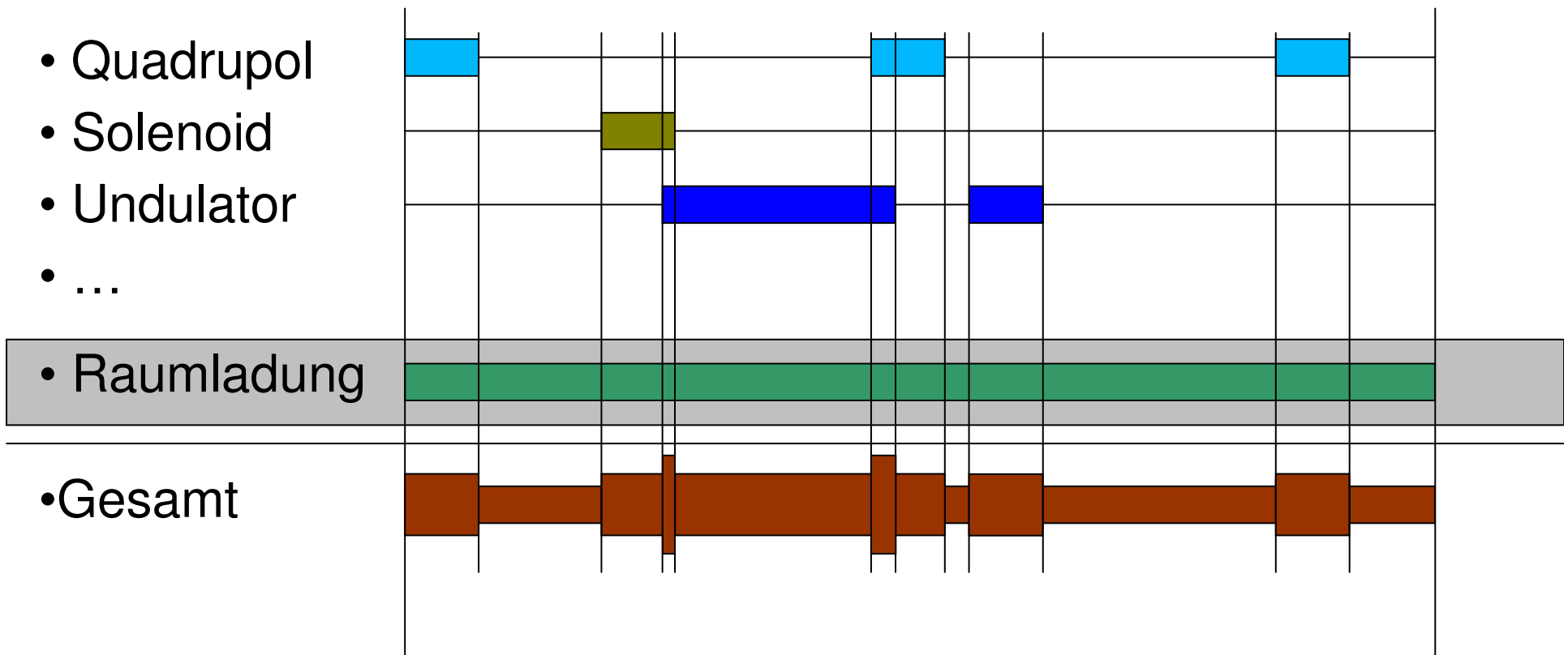
- Quadrupol
- Solenoid
- Undulator
- ...

• Gesamt

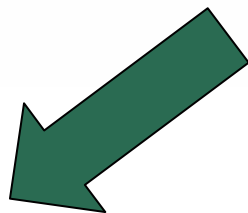
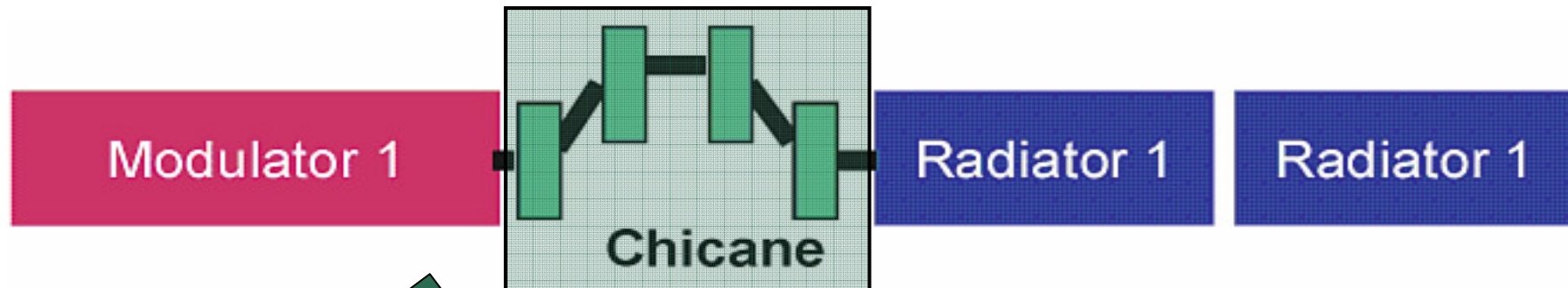


Genesis 1.3 – Optikberechnung

track.f



Grenzen der Optik Genesis1.3



Wichtig für SEED-/HGFG-FEL Simulationen.
Erzeugung der Dichtemodulation durch R_{56}

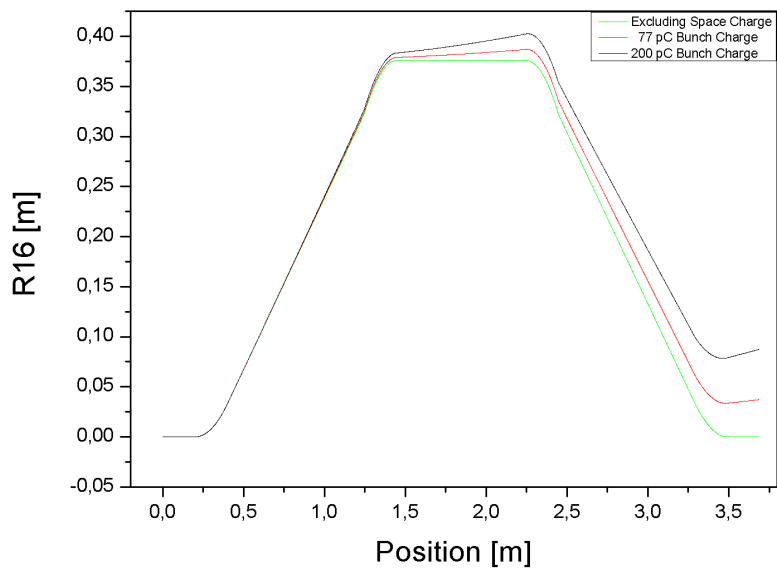
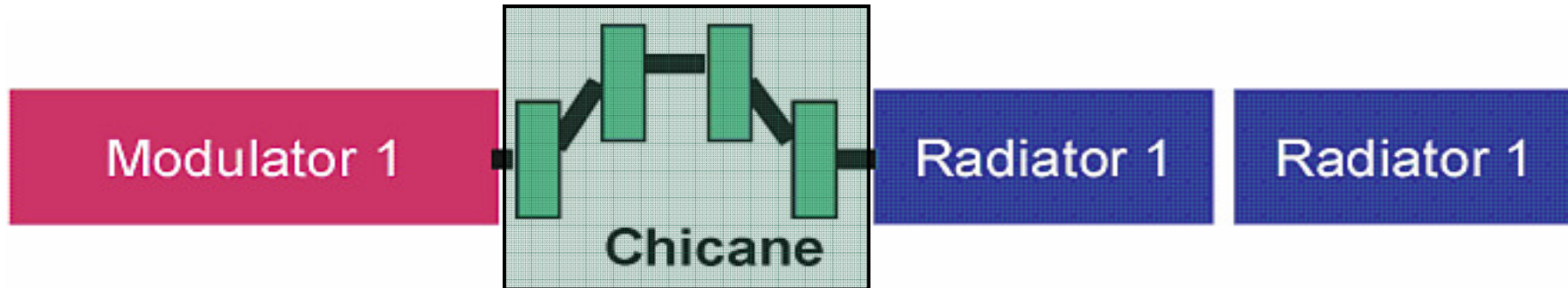
$$R_{56} = \delta l (\Delta p/p)$$



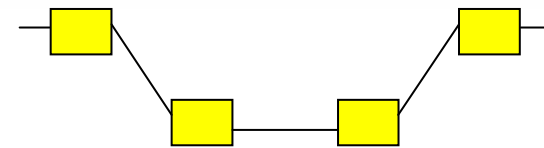
Bisher: Chicane = C-Chicane*
Implementierung über Transfermatrix

* feste Konfiguration

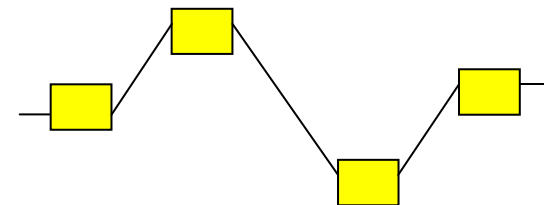
Grenzen der Optik Genesis1.3



C-Chicane



S-Chicane

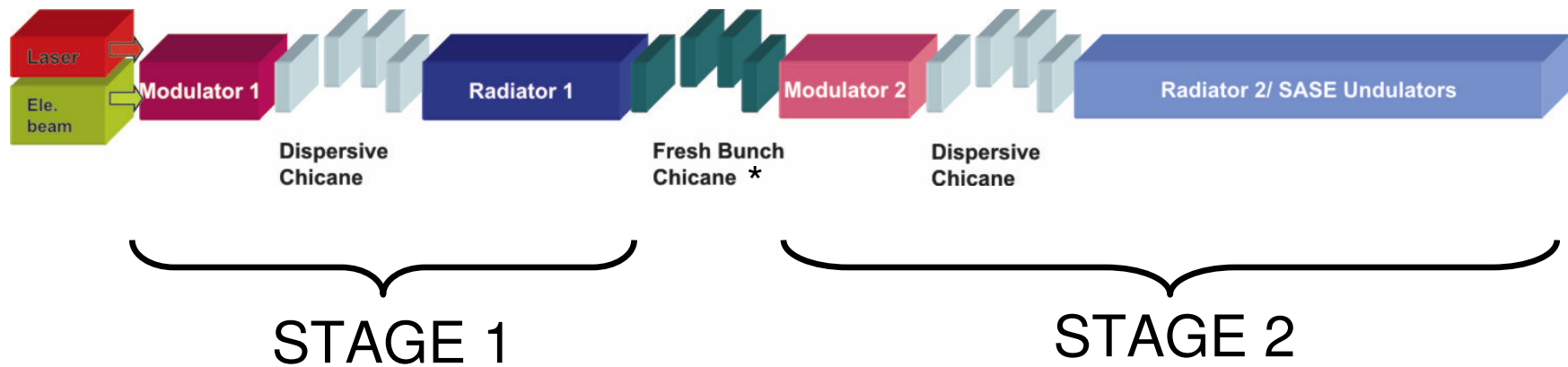


...



P12

FLASH II / STARS:



200nm SEED → 40nm Abstrahlung

40nm SEED → 8nm

FLASH II
(1200MeV)

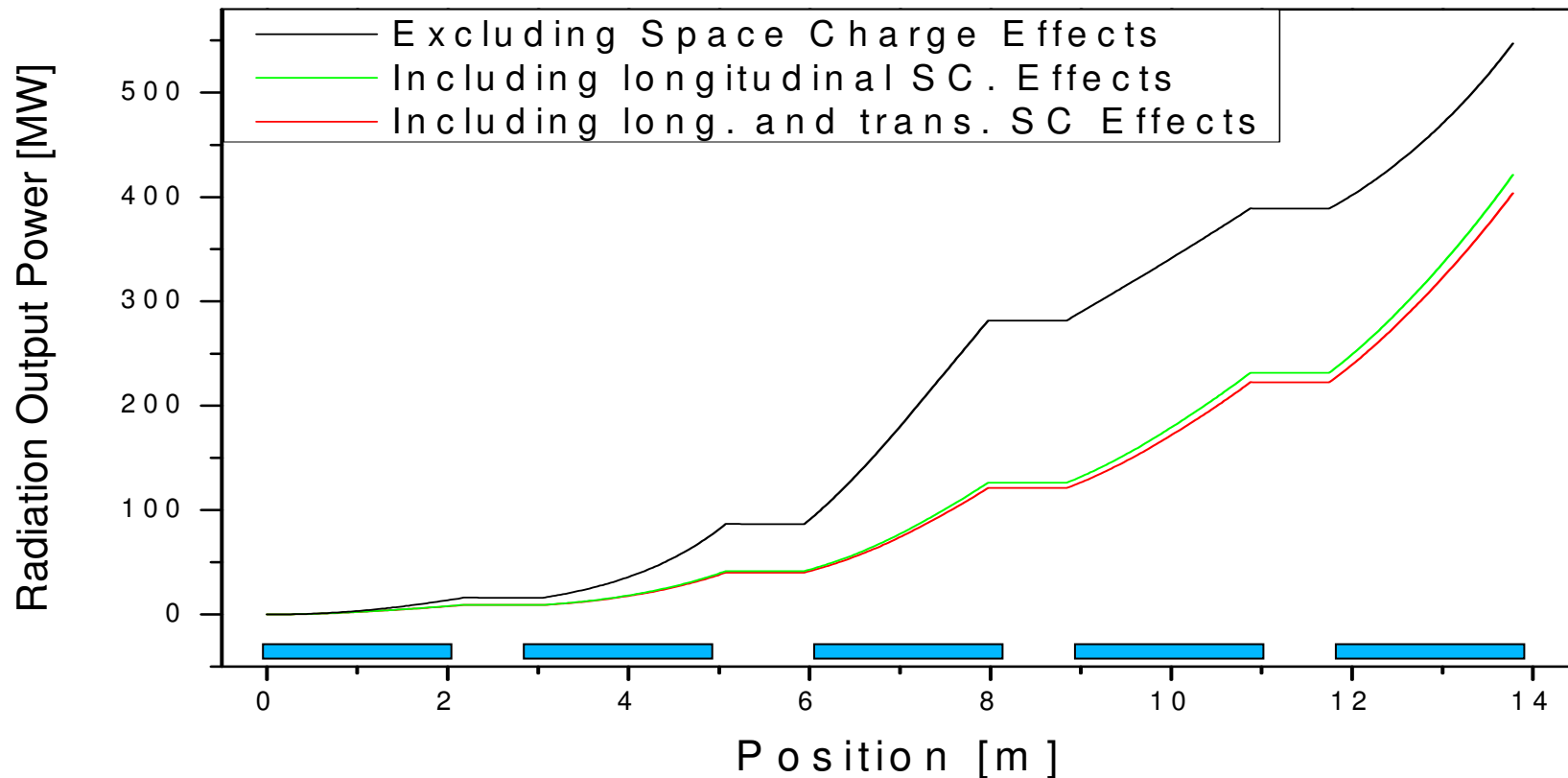
800nm SEED → 200nm Abstrahlung

200nm SEED → 40nm

STARS
(325MeV)

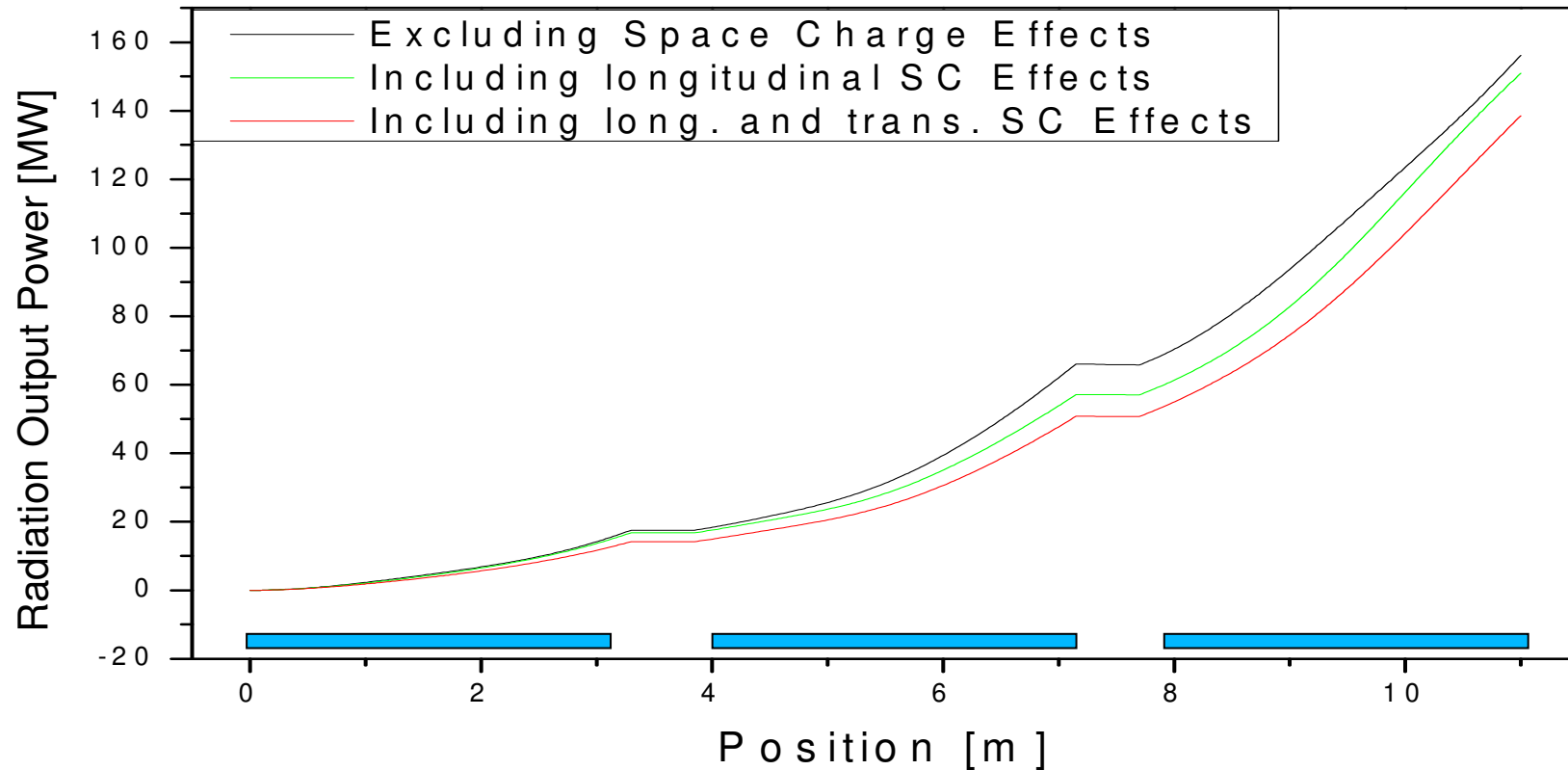
* „High-gain harmonic generation of soft X-rays with the ‚fresh bunch‘ technique“, Li-Hua Yu, NIM A393(1997)

FLASH II - Second Stage 1.8kA Peak Current



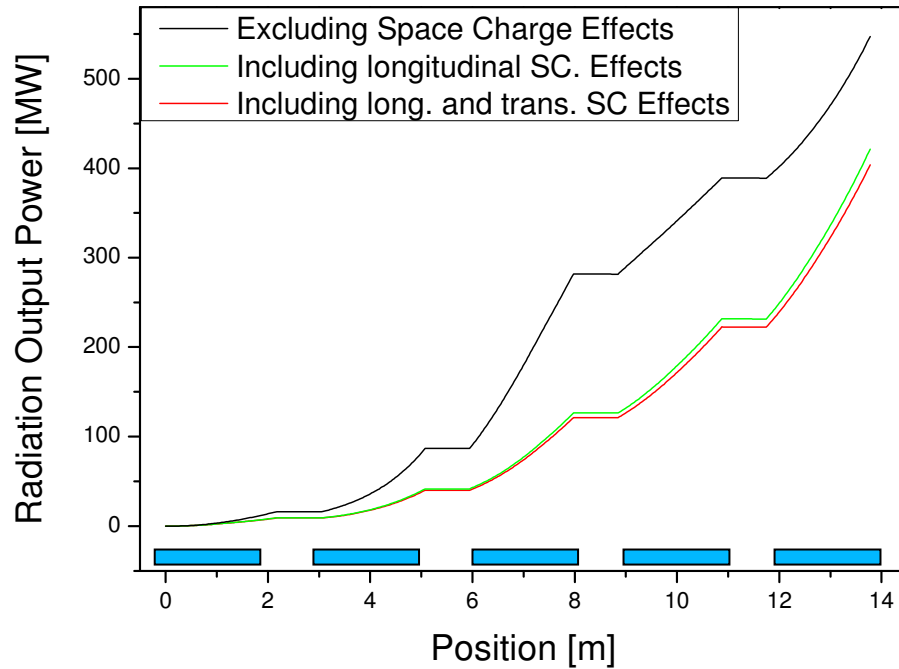
Bunch charge	1nC	1nC
Peak current	1.8kA	0.5kA
λ_{res}	8 nm	40nm
Energy	1.175GeV (2300 γ)	325MeV (636 γ)

STARS - Second Stage 0.5kA Peak Current

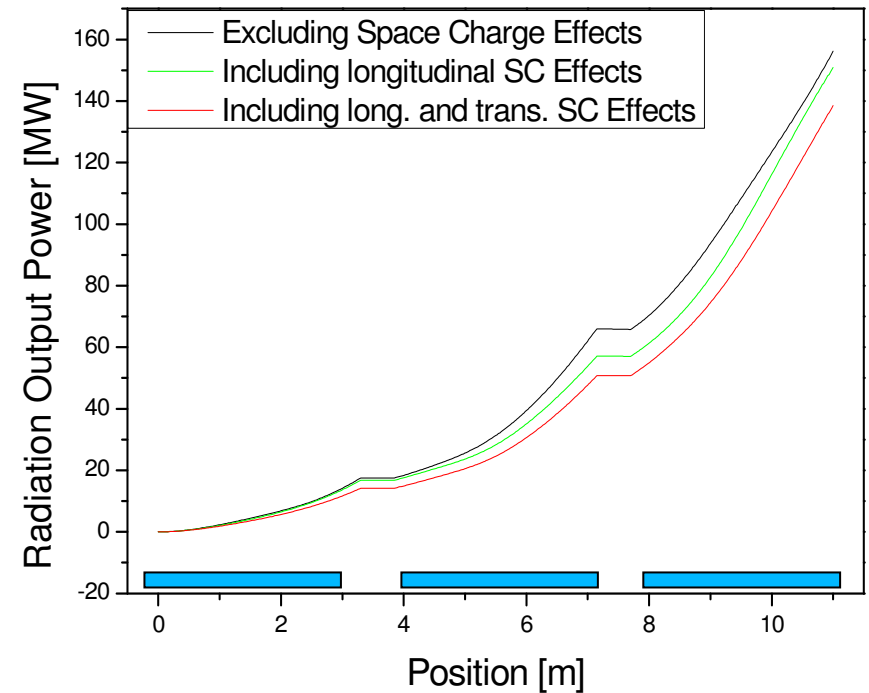


Bunch charge	1nC	1nC
Peak current	1.8kA	0.5kA
λ_{res}	8 nm	40nm
Energy	1.175GeV (2300 γ)	325MeV (636 γ)

FLASH II - Second Stage 1.8kA Peak Current

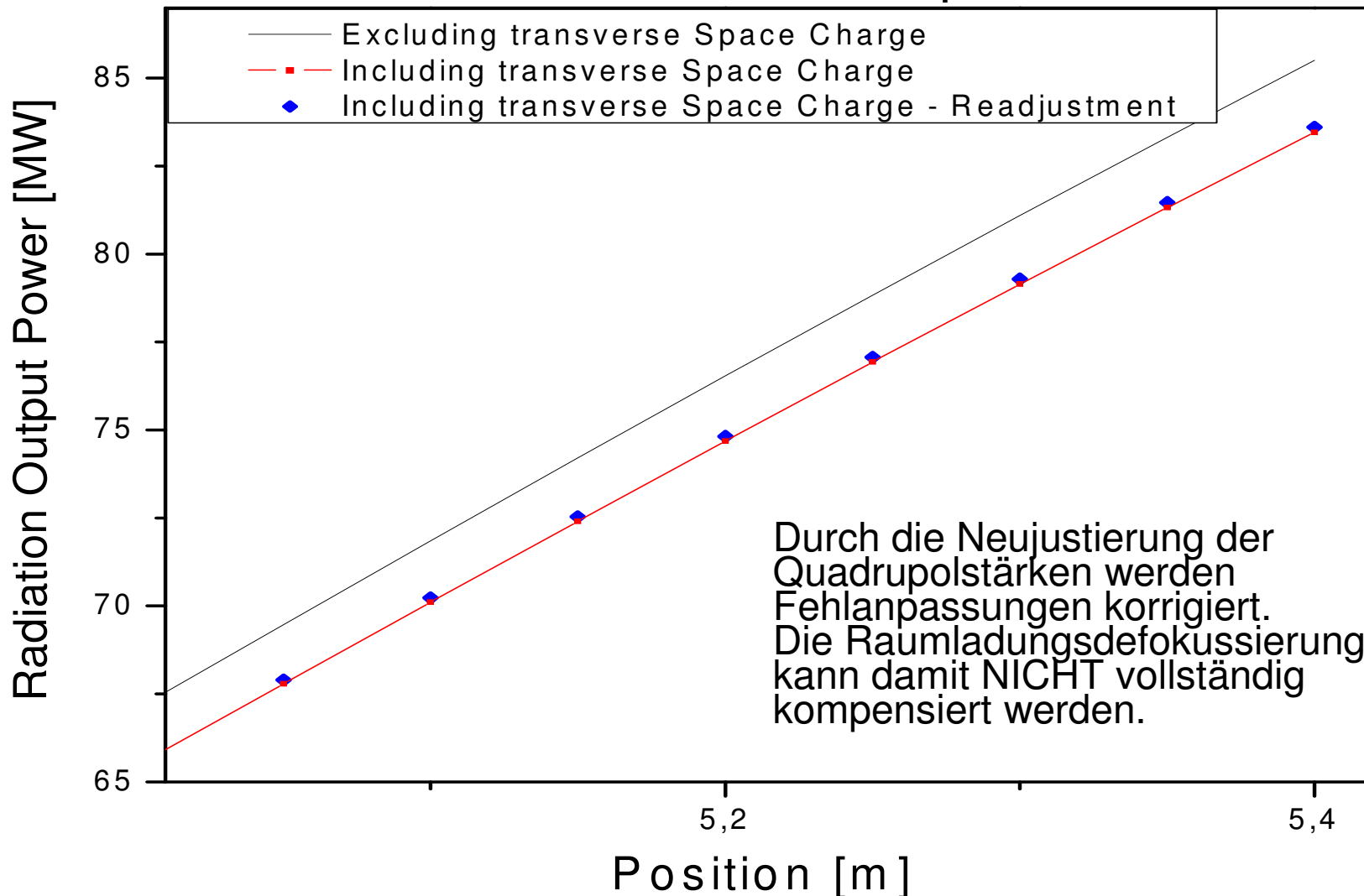


STARS - Second Stage 0.5kA Peak Current



Bunch charge	1nC	1nC
Peak current	1.8kA	0.5kA
λ_{res}	8 nm	40nm
Energy	1.175GeV (2300 γ)	325MeV (636 γ)

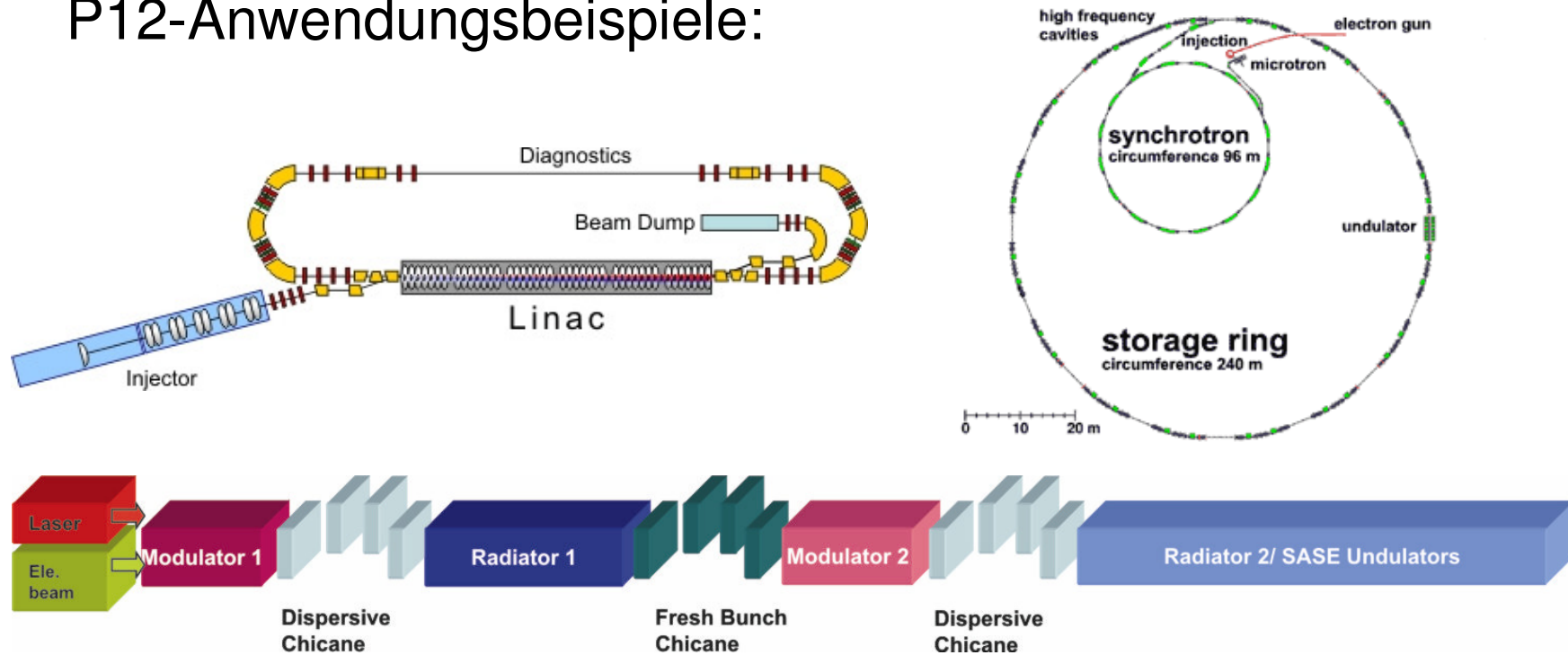
STARS - Radiation Output Power



First Stage-Radiator

- Bunchparameter sind sehr wichtig für FEL-Prozess
→ Raumladung ändert Buncheigenschaften
 - HGHG-FELs besonders sensible auf Raumladung
 - Raumladung koppelt Lattice-Eigenschaften mit Bunch-Eigenschaften
 - Raumladungsbedingte Fehlanpassungen von Lattices
 - Keine vollständige Kompensation der Lichtleistungsverluste durch Readjustment
- Raumladung muss in der Auslegung von Lattices und Abschätzungen von FEL-Performanzes berücksichtigt werden!!**

P12-Anwendungsbeispiele:



- Implementierung von longitudinaler Raumladung in P12
- Verbesserung der Undulatormodelle
- Neue magnetoptische Elemente

ENDE